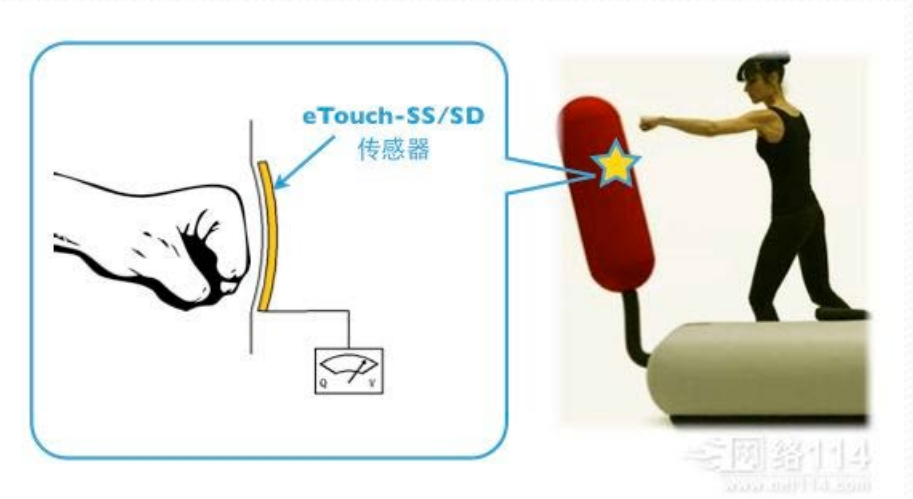
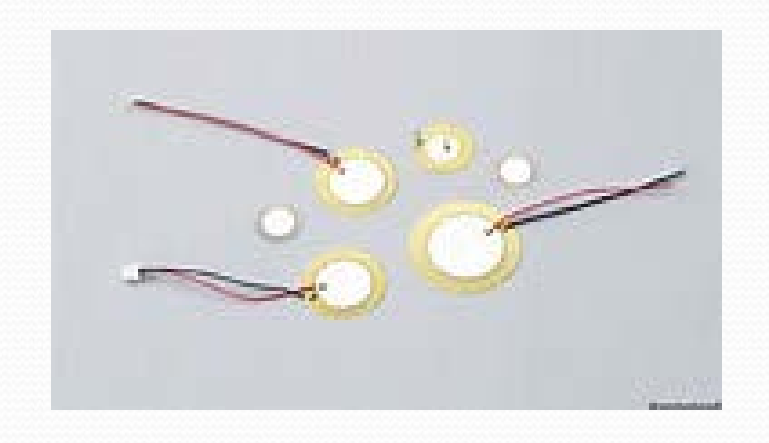
# 压电传感器

主讲教师: 宋宏

詹舒越2019-4-16修订

# 压电传感器 (Piezo sensor/ transducer)









#### 压电传感器

• 作用:

是力敏传感器,将压力、重力,以及与力有关的量转化为压电器件表面的电荷量,以实现非电量的测量。

- 有源传感器,发电型传感器
- 原理:

基于压电晶体、压电陶瓷等某些材料的压电效应能量的转换

### 本节主要内容

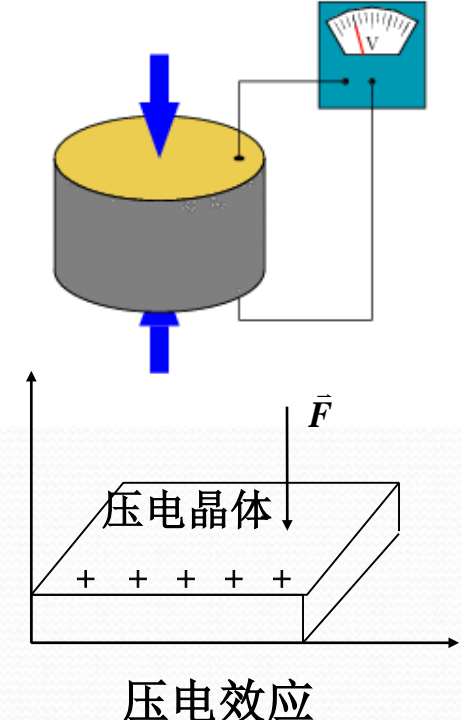
- 压电效应和压电方程
- 压电材料
- 压电传感器的信号调理电路
- 压电式加速度传感器
- 压电逆效应的应用
- 超声波传感器

#### 压电效应和压电方程

压电效应(piezo-electricity effect)

压电材料在一定方向上受力,产生机械形变,表面聚集电荷;撤掉外力,重新返回不带电状态。(正压电效应)

比如:单晶体SiO<sub>2</sub>,受机械外力时, 晶体内部产生极化现象(类磁铁), 晶体产生内部电场,表面相反电荷 外力撤销,极化消失,恢复



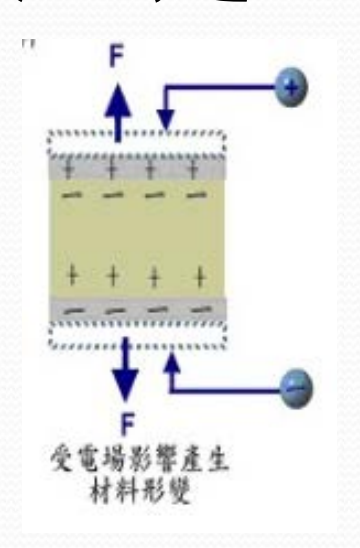
### 逆压电效应

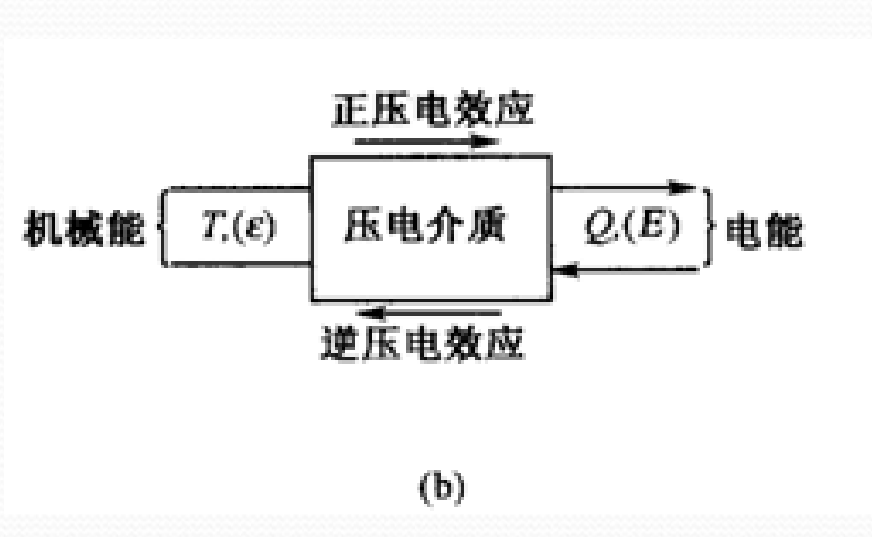
若对上述电介质施加电场作用时,同样会引起它内部的正负电荷中心相对转移而导致电介质产生形变,且其应变S与外电场强度E成正比。这种现象称为逆压电效应,或称电致伸缩。

具有压电特性的电介质(压电材料)能实现机一电能量的相互转换,可逆



未受電場及應力影響之壓電材料





# 压电效应和压电方程

• 非压电材料介质电容, 施加外力T:

$$S = sT$$
  $D = \varepsilon E$ 

D是电位移矢量 (electric displacement, 或电通量密度); ε 是介电常数( permittivity); E是外界作用在极板上的电场强度( electric field strength); S是弹性范围内的变形(strain); T是外加力形成的应力(stress); s为柔量 ( compliance ) 。

电容极板电荷: Q=D\*A. A为极板面积。

柔量:弹性常数,=应变/应力

对一个完善的弹性材料来说,它是弹性模量的倒数,即材料每单位应力的变形率。常见的实验测定的柔量有拉伸柔量、剪切柔量、蠕变柔量等。

# 压电效应和压电方程

• 绝缘的非压电材料介质电容, 施加外力T:

$$S = sT$$
  $D = \varepsilon E$ 

D是位移矢量(或电通量密度); $\varepsilon$ 是介电常数;S是弹性范围内的变形;T是外加力形成的应力;E是作用在极板上的电位差形成的电场;s为柔量。

• 如果压电材料为介质, 在低频上有

正压电: 
$$D = dT + \varepsilon^T E$$
 (应力引起电荷)  
逆压电:  $S = s^E T + d'E$  (电场引起应变)

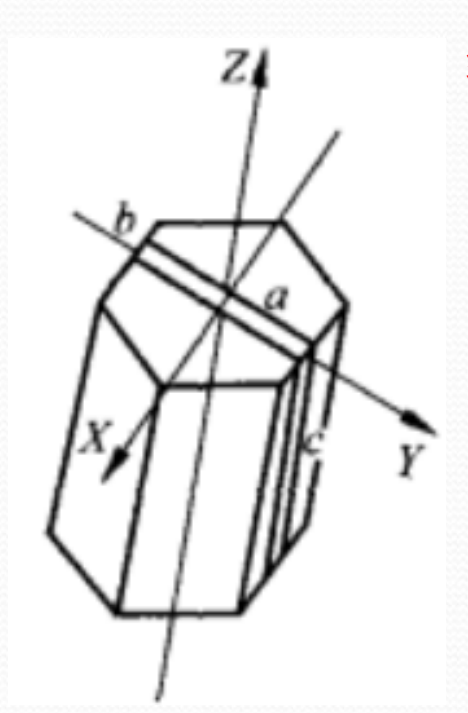
表面积不变时,d=d'; d是压电系数,量纲为C/N;  $\varepsilon^T$  是在恒定应力下的介电常数;  $s^E$  是在恒定电场下的柔量。

### 本节主要内容

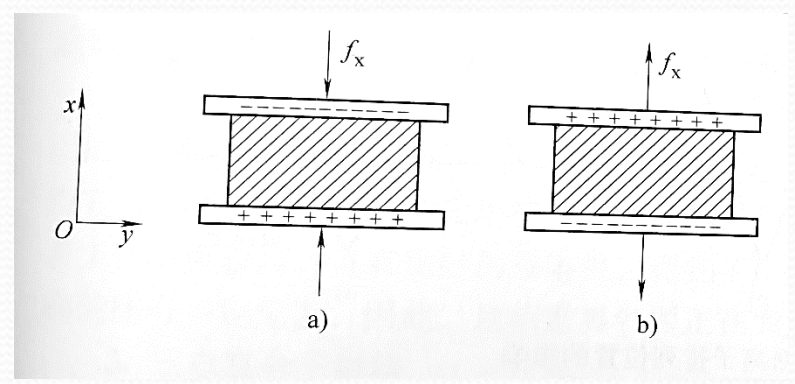
- 压电效应和压电方程
- 压电材料
- 压电传感器的信号调理电路
- 压电式加速度传感器
- 压电逆效应的应用
- 超声波传感器

#### 一、压电晶体

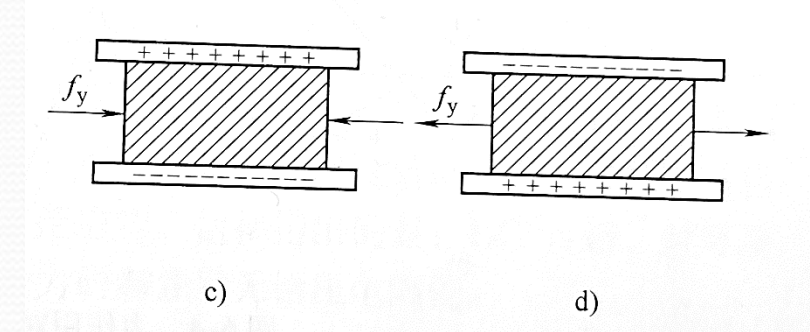
- •石英晶体(单晶体)Z中轴称之为光轴(Z轴无压电效应);
- •X 轴称为电轴:力X、Y→电荷始终在X轴,正向压电效应最强
- •Y 轴称为机械轴: 机械形变最明显



纵向压电效应



横向压电效应



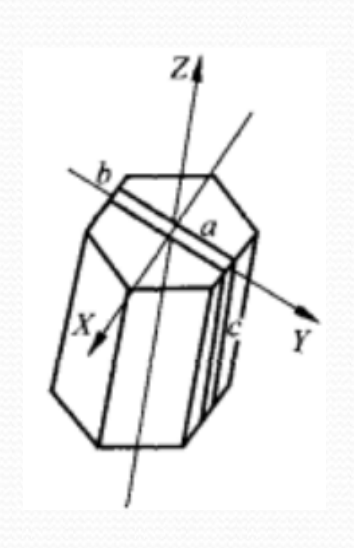
# 纵向、横向压电效应

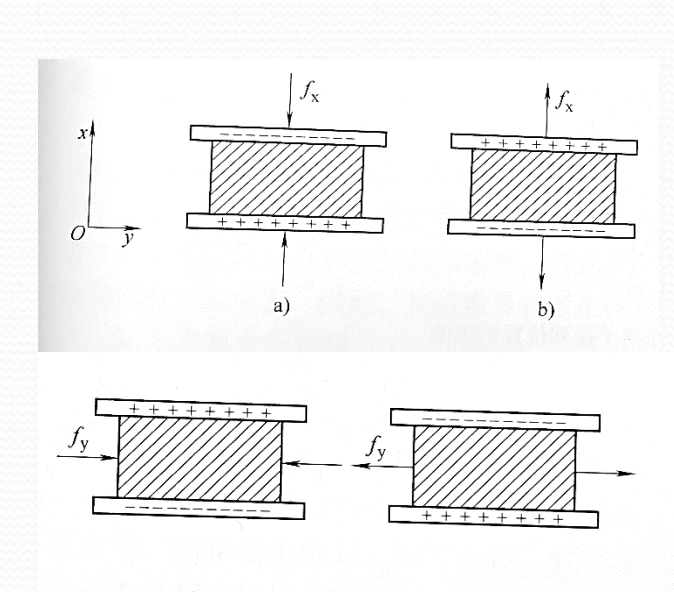
•纵向(longitudinal):力与电荷同方向

Fx, X轴压电效应最强

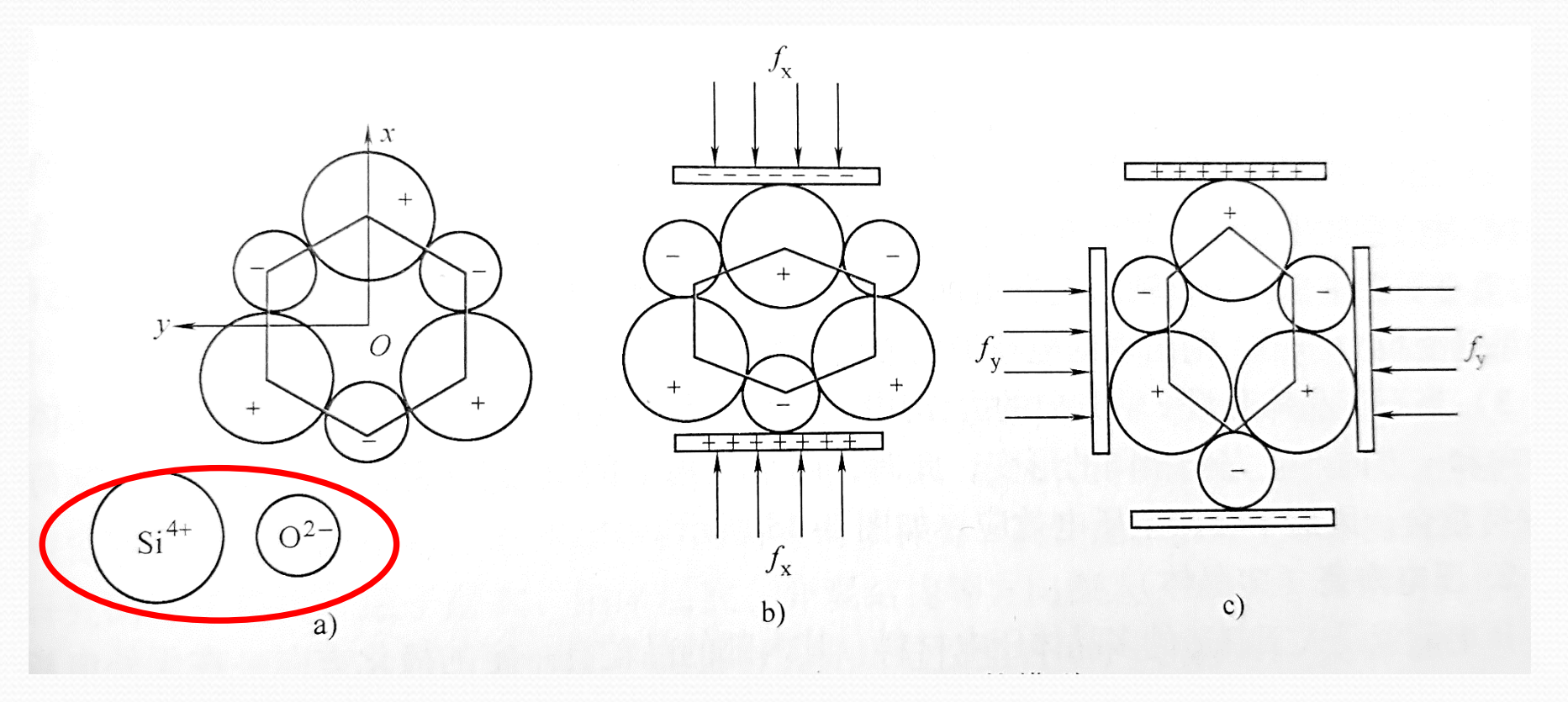
•横向(transversal): 力与电荷方向垂直

Fy, Y轴机械变化最明显



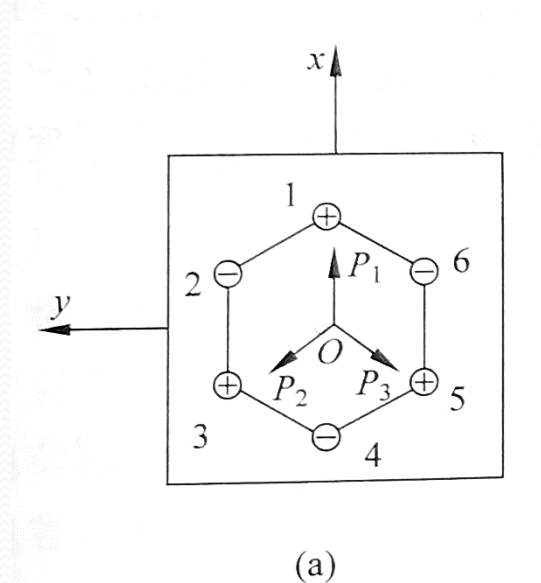


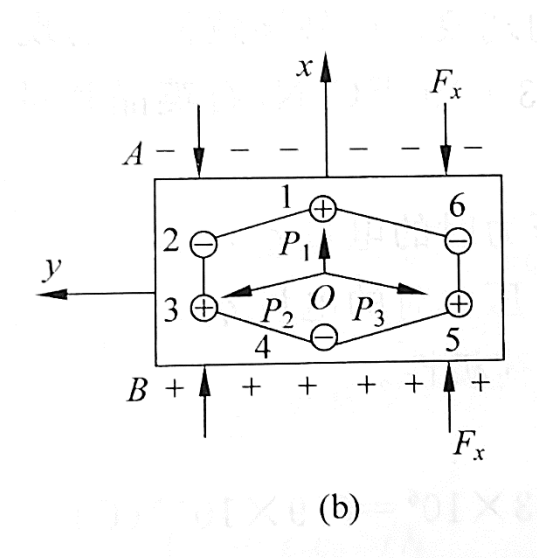
### 示例压电晶体:SiO<sub>2</sub>

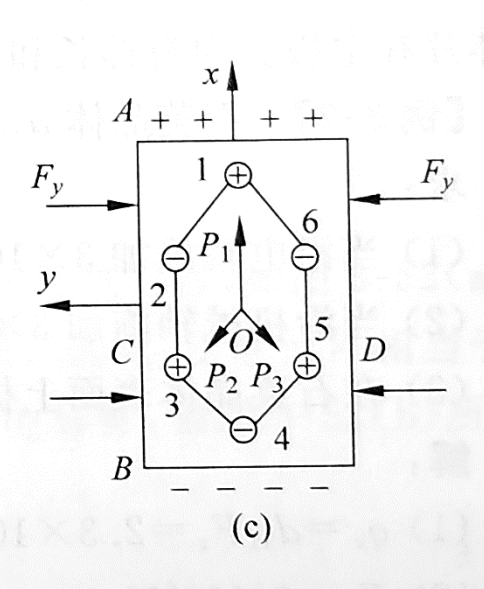


- (a) 正负电荷是互相平衡的, 所以外部没有带电现象。
- (b) 在X轴方向压缩,表面A上呈现负电荷、B表面呈现正电荷。
- (c) 沿Y轴方向压缩,在A和B表面上分别呈现正电荷和负电荷

#### 电荷方向





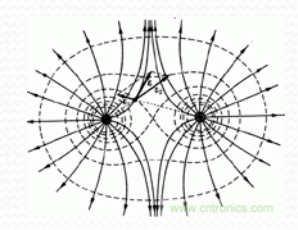


$$\overrightarrow{P_1} + \overrightarrow{P_2} + \overrightarrow{P_3} = 0$$

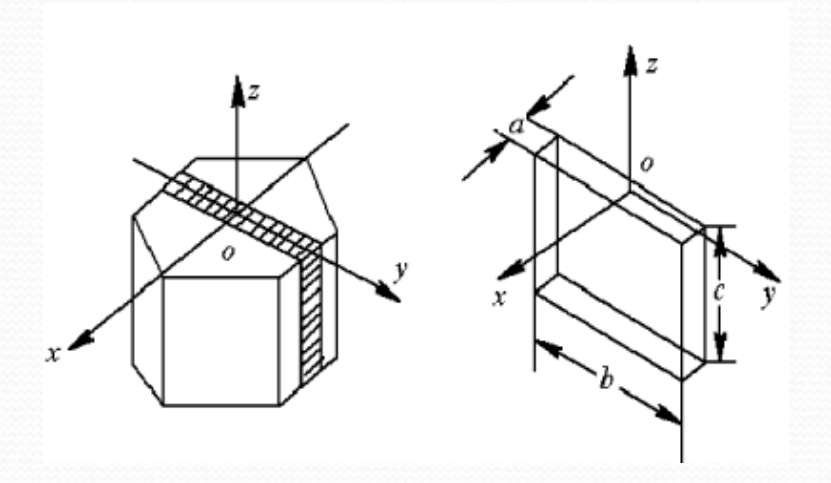
$$\left(\overrightarrow{P_1} + \overrightarrow{P_2} + \overrightarrow{P_3}\right)_X < 0$$

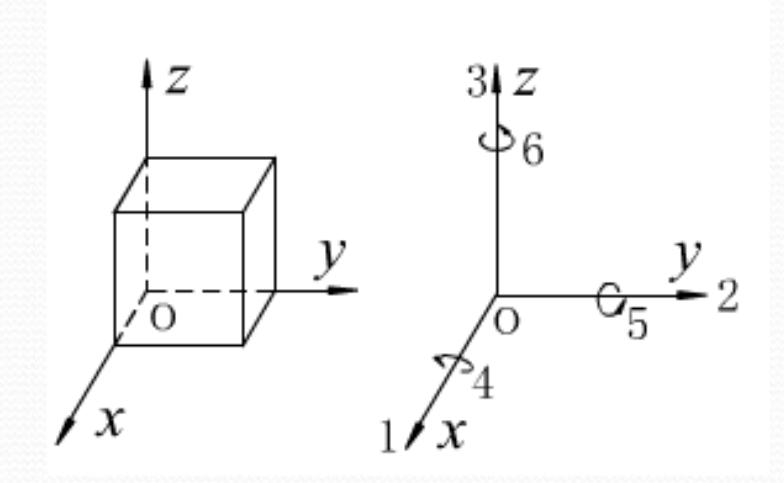
$$\left(\overrightarrow{P_1} + \overrightarrow{P_2} + \overrightarrow{P_3}\right)_X > 0$$

P: 电偶极矩, =电量\*矢径



#### 电荷大小





$$q_i = d_{ij} f_j$$

q: 电荷量,极化强度,C

i: X, Y, 或者Z方向, i=1,2,3

j: 延各轴的单位应力或者剪切力,j=1,2,3,4,5,6

d: 压电系数, C/N

f: 作用力

#### 电荷大小

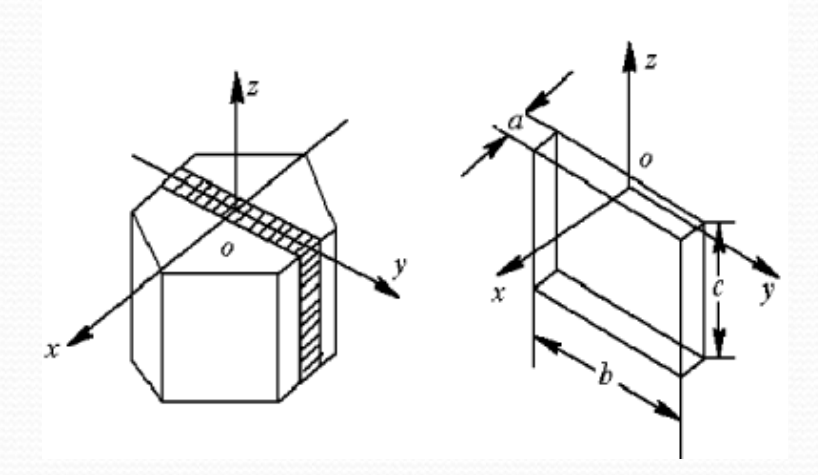
压电材料的压电特性可用压电系数矩阵表示

$$q_i = d_{ij} f_j$$

压电系数越小,压电材料的电荷产生能力越?对应传感器灵敏度越?

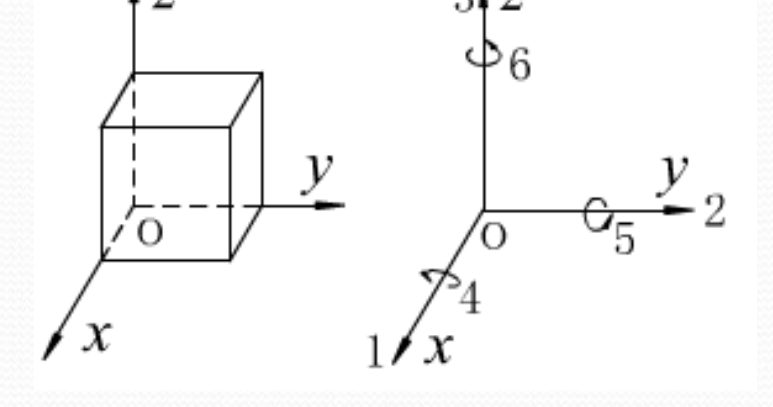
$$\begin{bmatrix} q_X \\ q_Y \\ q_Z \end{bmatrix} = ? \times \begin{bmatrix} f_1 \\ f_2 \\ f_3 \\ f_4 \\ f_5 \\ f_6 \end{bmatrix}$$

#### 电荷大小



沿x轴施加作用力:

$$q_X = d_{11} f_X$$



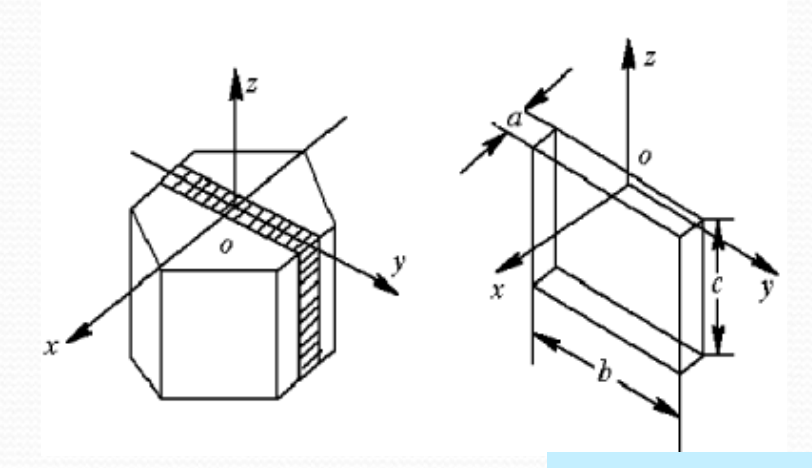
 $q_x$ : yz平面上产生的电荷量

 $d_{II}$ : x方向受力的压电系数

 $f_x$ : x轴方向作用力

- > 压缩力时电荷方向为负;
- ▶ 电荷量与切片几何尺寸无关;

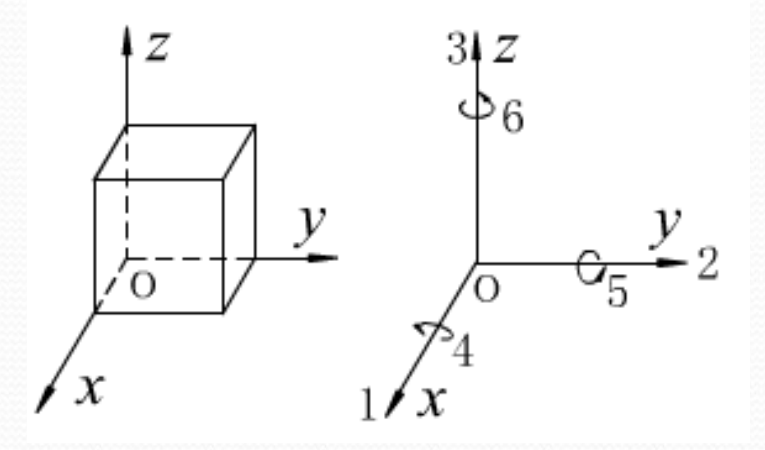
#### 电荷大小



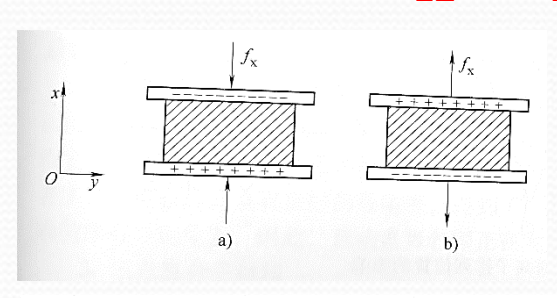
沿y轴施加作用力:

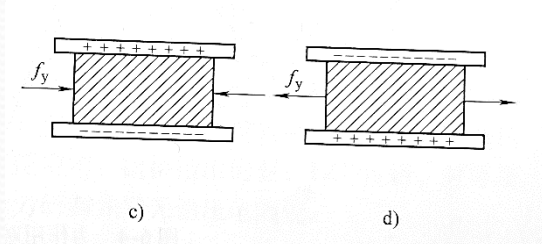
$$q_X = d_{12} \frac{b}{a} f_Y$$

- > 压缩力时电荷方向为正;
- ▶ 电荷量与切片几何尺寸有关;



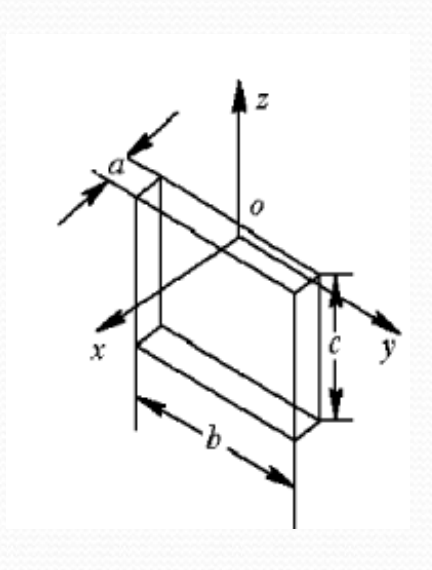
 $d_{12}$ : y方向受力的压电系数 (石英轴对称, $d_{12}=-d_{11}$ )





石英晶体d<sub>11</sub>为2.3×10<sup>-12</sup>C/N,石英晶片的长度是宽度的2倍、是厚度的3倍。求:

- (1) 当沿电轴施加3×10<sup>6</sup>N压力时的电量。
- (2) 当沿机械轴施加同样压力时的电量。
- (3) 在石英晶体表面上标出电荷极性。



#### 压电石英的性能特点

- ▶压电系数小,灵敏度低;
- >压电系数几乎不随温度变化,时间和温度稳定性好;
- ▶机械强度和品质因数高,刚度大,固有频率高,动态特性好;
- >无热释电性,绝缘性、重复性好。

#### 常用于:

- ▶测大的作用力\*、加速度
- ▶用于准确度和稳定性要求高的压力测量
- ▶用于制作标准器件。

#### 二、压电陶瓷

- ➤压电陶瓷是人工制造的多晶体压电材料,它比石英晶体的压电灵敏度高得多,而制造成本却较低。常用的压电陶瓷材料有锆钛酸铅系列压电陶瓷(PZT)及非铅系压电陶瓷(如BaTiO3等)。
- ➤压电系数高,灵敏度较石英材料高,但工作温度低,温度稳定性和机械强度都不如石英。

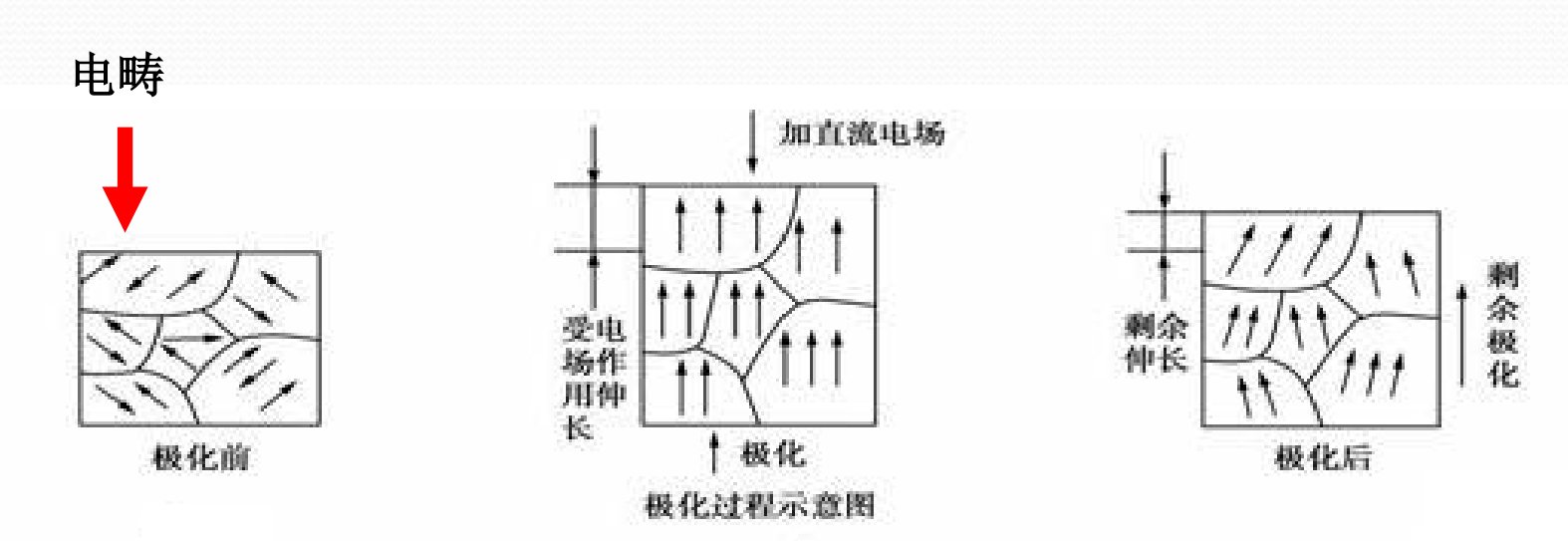


压电陶瓷谐波器



超声波医学压电陶瓷晶片

### 压电陶瓷的极化



需要外电场和压力的共同作用

二、压电陶瓷的特点

- >特性不稳定,传感器需经常校准
- >常作为电能转换为机械能的执行控制器件
- ▶局限性:

具热释性,会给压电传感器造成干扰,降低稳定性

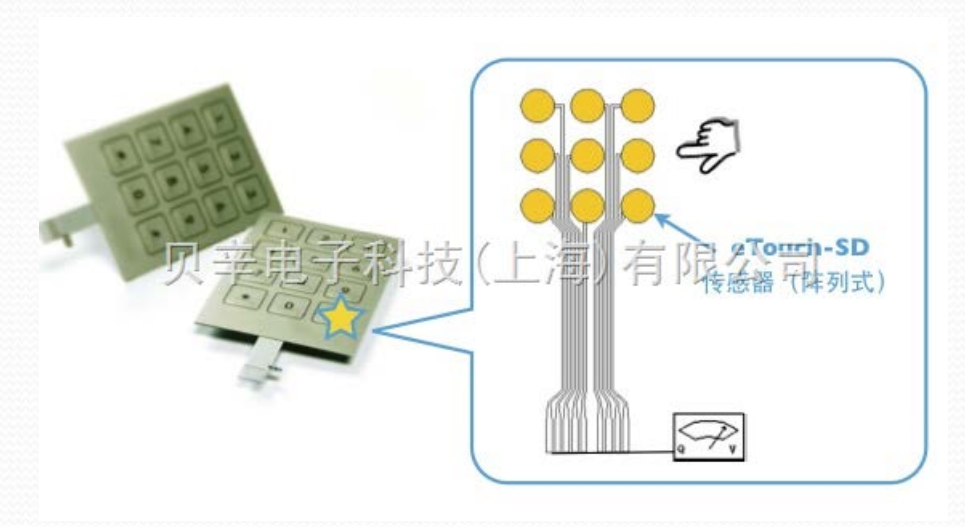
#### 三、压电薄膜

- ➤压电薄膜是高分子聚合物的薄膜,简称PVDF(聚偏氟乙烯)。 PVDF具有高弹性、柔软性好、耐强电场等优点。
- ▶高介电强度,可达75V/μm,此时压电陶瓷在强电场下性能已经 开始退化
- ▶PVDF薄膜的压电系数 (23×10<sup>-12</sup>C/N) 约为石英晶体 (2.31×10<sup>-12</sup>C/N) 的10倍,压电陶瓷为100×10<sup>-12</sup>~500×10<sup>-12</sup>C/N;
- ▶响应频带宽 (0.001~10°Hz), 动态测量范围宽 (10-8~106Psi)。
- ▶PVDF薄膜的价格便宜,可以用作压电计数开关,振动冲击传感器等。

### 三、压电薄膜







### 压电材料的主要特性参数

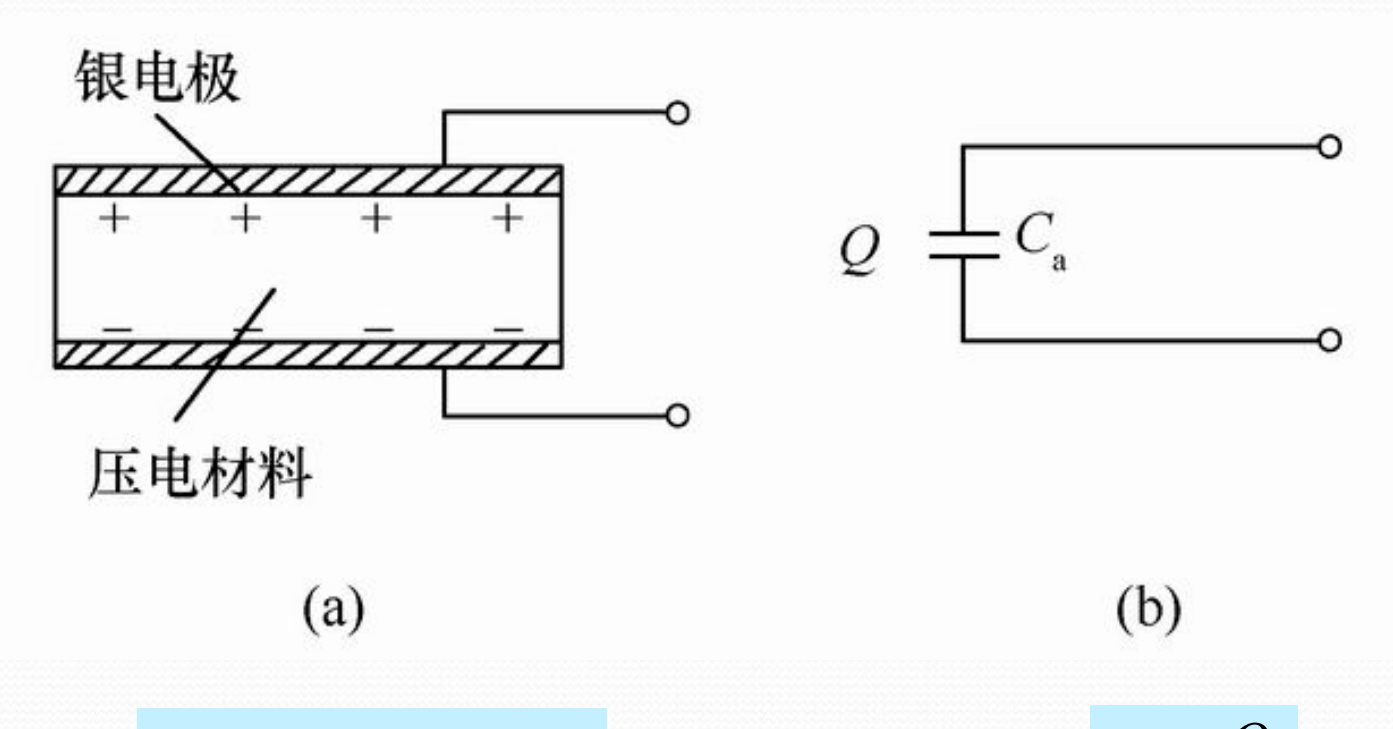
- 压电常数: 衡量材料压电效应强弱, 影响压电输出灵敏度
- 弹性常数:决定压电器件的固有频率和动态特性
- 介电常数: 影响元件的固有电容, 随之影响传感器的频率下限
- 机电耦合系数: 衡量压电材料的能量转换效率
- 电阻:减少电荷泄漏,从而改善低频特性
- 居里点: 保持压电特性的临界温度

$$k = \sqrt{\frac{d^2}{\varepsilon^T s^E}}$$

### 本节主要内容

- 压电效应和压电方程
- 压电材料
- 压电传感器的信号调理电路
- 压电式加速度传感器
- 压电逆效应的应用
- 超声波传感器

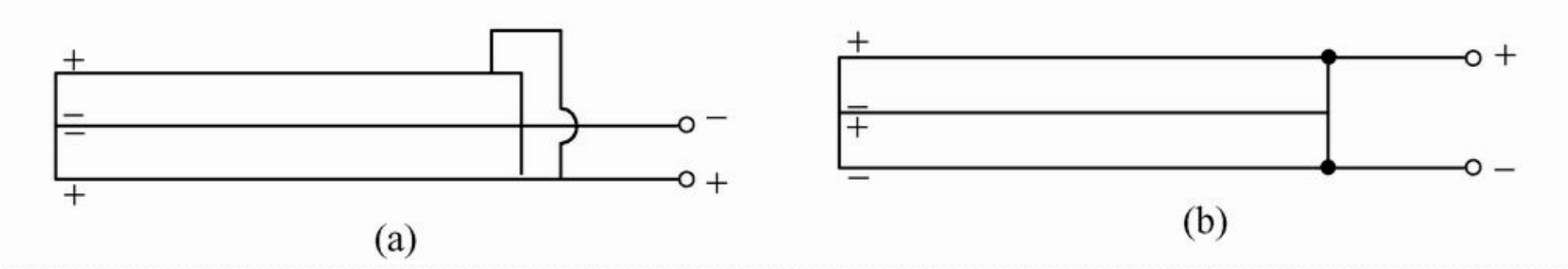
### 压电元件等效电路



$$C_a = \frac{\mathcal{E} \cdot S}{h} = \frac{\mathcal{E}_r \mathcal{E}_0 S}{h}$$

S: 极化面积, h: 压电片厚度

### 两个压电片的联结方式



#### (a) "并联",Q'=2Q,U'=U,C'=2C

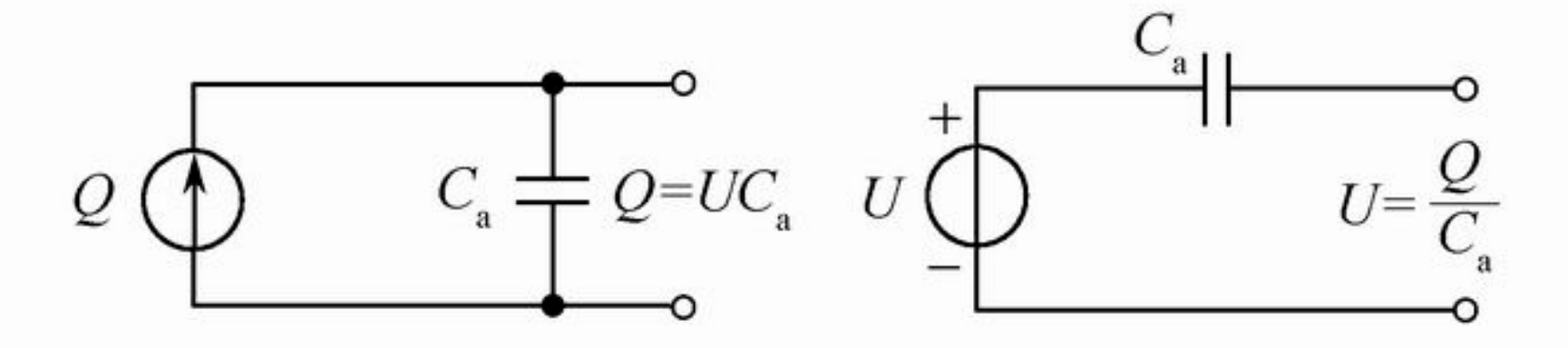
并联接法输出电荷大,本身电容大,时间常数大,适宜用在测量慢变信号并且以电荷作为输出量的场合

#### (b) "串联" Q'=Q, U=2U, C'=C/2

而串联接法输出电压大,本身电容小。

适宜用于以电压作输出信号,且测量电路输入阻抗很高、频率较高的场合。

#### 压电传感器等效电路

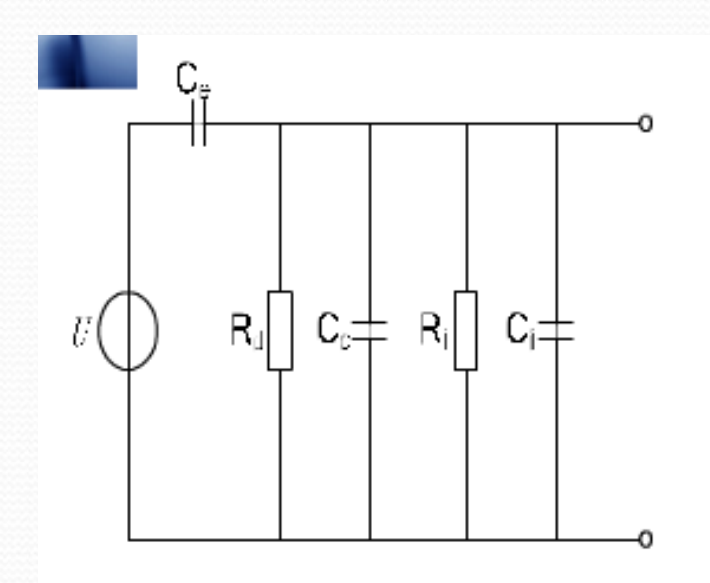


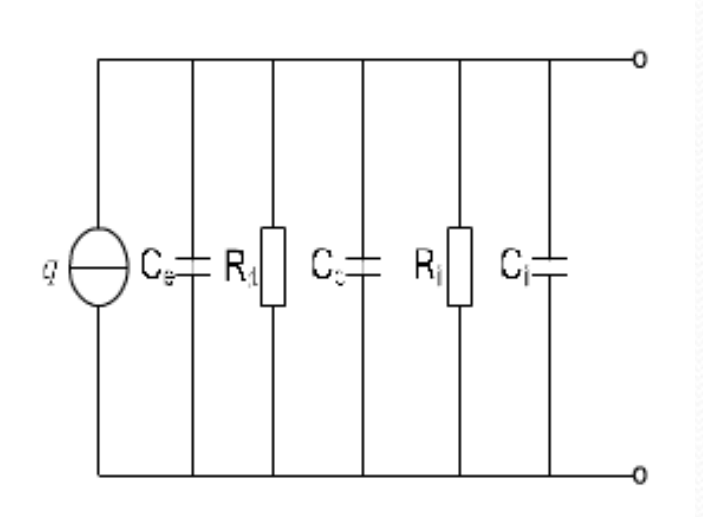
(a) 电荷等效电路

(b) 电压等效电路

- (a)等效为一个电荷源Q与一个电容 $C_a$ 并联的电路
- (b) 等效成一个电源 $U = Q/C_a$  和一个电容 $C_a$ 的串联电路

#### 实际应用中, 压电传感器等效电路





 $C_{\rm c}$ : 连接电缆等效电容

 $C_i$ : 放大器输入电容

 $R_i$ : 放大器输入电阻

R<sub>d</sub>: 传感器泄漏电阻

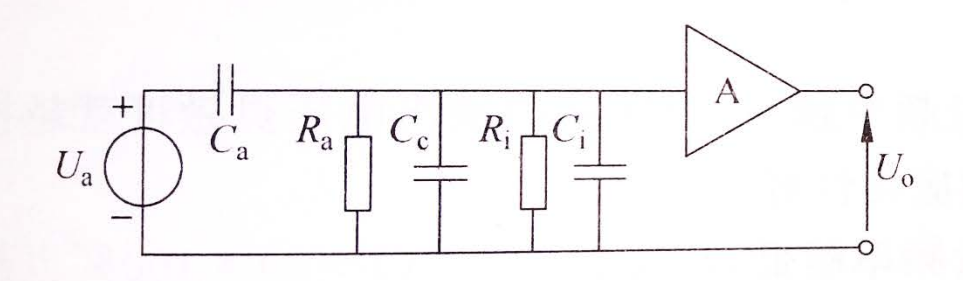
### 压电式传感器信号调理电路

- 压电传感器本身的内阻抗很高,输出能量较小,负载电阻R<sub>L</sub>必须有很大的数值,才能使测量误差小到一定数值以内。因此常先接入一个高输入阻抗的前置放大器,然后再接一般的放大电路及其它电路。
- 前置放大器两个作用:
  - 把传感器的高阻抗输入变换为低阻抗输出。
  - 把压电式传感器的微弱信号放大;

#### 前置放大器形式:

- 电压放大器,用电阻反馈,其输出电压与输入电压成正比;
- 电荷放大器,用电容板反馈,其输出电压与输入电荷成正比。

### (1) 电压放大电路:



(a) 传感器的实际等效电路

$$R = \frac{R_a R_i}{R_a + R_i} \qquad C = C_c + C_i$$

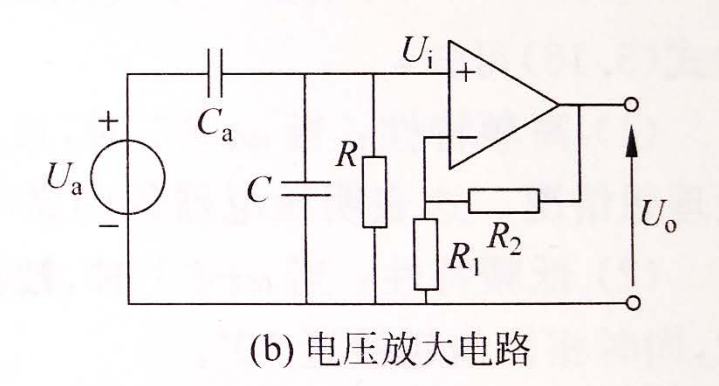
Ca: 传感器的电容

Ra: 传感器的漏电阻

C<sub>c</sub>: 连接电缆的等效电容

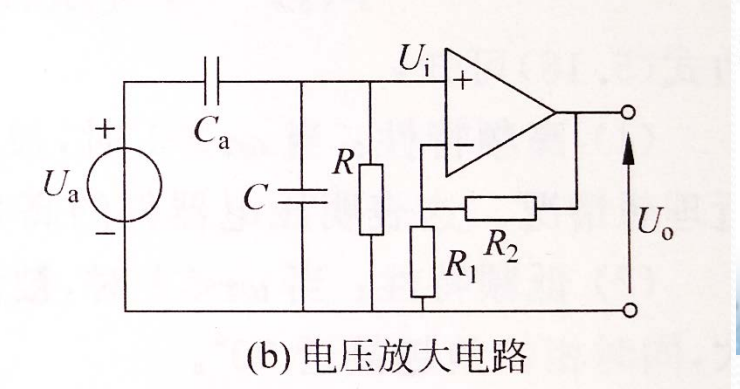
R<sub>i</sub>: 放大器的输入电阻

C: 放大器的输入电容



$$\frac{U_o}{U_i} = 1 + \frac{R_2}{R_1} \approx \frac{R_2}{R_1}$$

### 电压放大电路:



若压电元件材料受正弦力作用,则产生的电压值为

$$\dot{F} = F_m \sin \omega t \qquad \dot{U}_a = \frac{dF_m}{C_a} \sin \omega t = U_m \sin \omega t$$

$$F_m$$
—作用力的幅值  $U_m = \frac{dF_m}{C_a}$  —电压幅值

$$F_{\mathbf{m}}$$
—作用力的幅值  $U_m = \frac{dF_m}{C_a}$  —电压幅值

$$\dot{U}_i = \frac{R//C}{C_a + R//C} \dot{U}_a = \frac{j\omega R}{1 + j\omega R(C_a + C)} dF_m \sin \omega t$$

$$U_{im} = \frac{dF_m \omega R}{\sqrt{1 + \omega^2 \tau^2}}$$

$$\tau = R(C_a + C_c + C_i)$$

$$\omega^2 \tau^2 >> 1$$

$$U_{im} = \frac{dF_m \omega R}{\sqrt{1 + \omega^2 \tau^2}}$$

$$K_u = \frac{U_{im}}{F_m} = \frac{\omega R d}{\sqrt{1 + (\omega \tau)^2}} \approx \frac{d}{C_a + C_c + C_i}$$

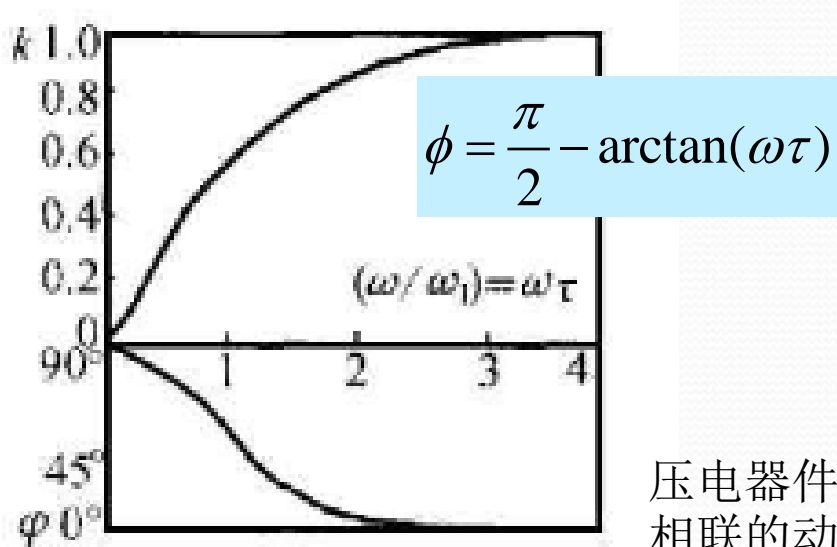
$$\phi = \frac{\pi}{2} - \arctan(\omega \tau)$$

### (1) 电压放大电路:

$$K_{u} = \frac{U_{im}}{F_{m}} = \frac{\omega R d}{\sqrt{1 + (\omega \tau)^{2}}} \approx \frac{d}{C_{a} + C_{c} + C_{i}}$$

$$U'_{im} = \frac{dF_m}{C_a + C_c + C_i} \qquad k = \frac{U_{im}}{U'_{im}}$$

$$k = \frac{U_{im}}{U_{im}}$$



- (1) 当ω=0时 Ku=0,所以压 电传感器不能测静态量;
- (2) 当ωt>>1时,被测量高 频时,灵敏度与被测信号频率 无关,说明压电式传感器的高 频响应好;
- (3) 灵敏度与电路电容大小 成反比,为得到好的低频响性 特性,d应大些,R越大越好; (压电晶体)
- (4) 灵敏度与连接电缆有关, 更换电缆需要重新标定; (线 的长度、直径)
- (5) 当ωt<<1时,被测量低 频时,动态误差加大。

压电器件与测量电路 相联的动态特性曲线

#### (2) 压电传感器电荷放大电路

放大器的输入阻抗极高,放大器输入端没有电流,电荷只对反馈电容 $C_f$ 充电,充电电压 = 放大器输出电压

$$C'_{f} = (1+K)C_{f}$$

$$\begin{cases} U_{o} = \frac{Q}{C+C'_{f}} \\ U_{o} = -KU_{i} \end{cases}$$

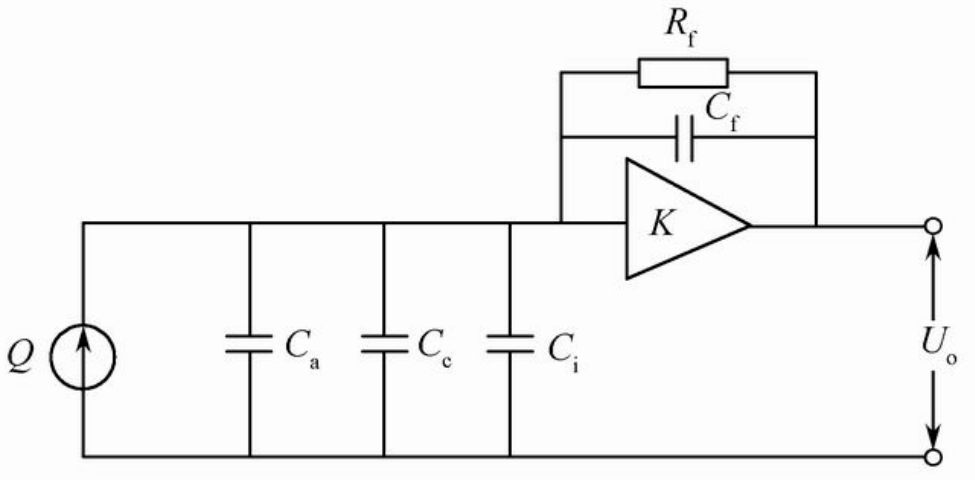
$$U_{o} = \frac{-KQ}{C+(1+K)C_{f}} \longrightarrow U_{o} \approx -\frac{Q}{C_{f}} = U_{f}$$

Cf: 反馈电容

Ca: 传感器的漏电容

Cc: 电缆的分布电容

Ci: 放大器输入电容



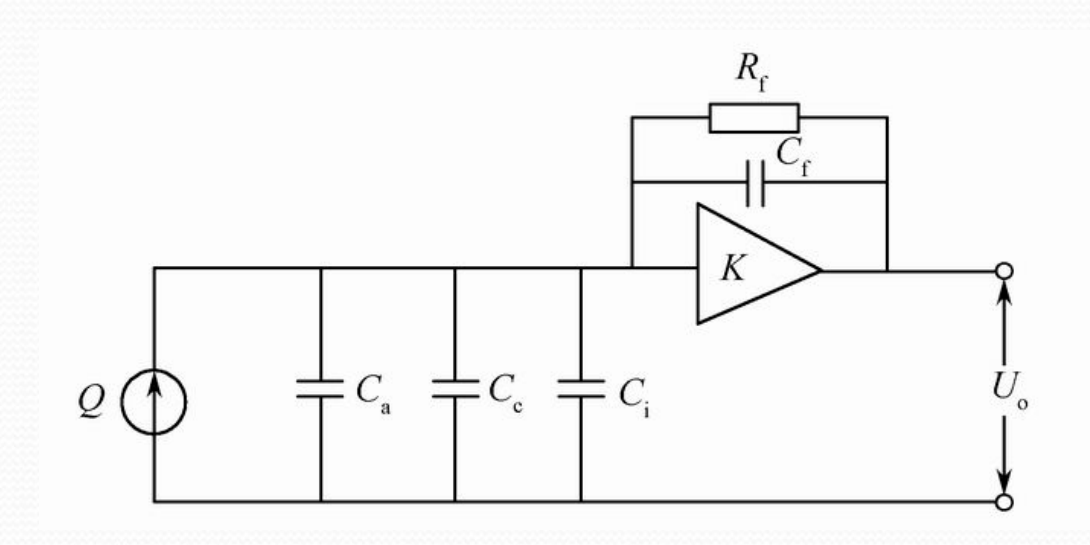
电荷放大器等效电路

几点结论:  $U_o \approx -\frac{Q}{C_f} = U_f$ 

 $\rightarrow$ 当 (1+K)  $C_r$ >> $C_a$ + $C_c$ + $C_i$ 时,即当放大倍数K足够大时,电 荷放大器的输出电压仅与输入电容量(电荷)和反馈电容有 关,认为传感器的灵敏度与电缆电容无关。若保持 $C_f$ 数值不 变,输出电压正比于输入电荷量(与压力成线性关系)

- $\triangleright$ 为了得到必要的测量精度, $C_f$ 的温度和时间稳定性要好, 实际电路中,Cf的容量做成可选择的。
- >电容负反馈线路在直流工作时,对噪声比较敏感,放大器 的零点漂移比较大,一般在反馈电容的两端并联一个电阻 $R_f$  $(10^{10} \sim 10^{14}\Omega)$ 提高直流反馈。
- > 狭义的测量误差较小

例: 压电陶瓷片 $d_{33}=5\times10^{-10}$ C/N,用反馈电容  $C_f=0.01\mu$ F的电荷放大器测出输出电压幅值 $U_o=0.4$ V,求所受力的大小?



#### 本节主要内容

- 压电效应和压电方程
- 压电材料
- 压电传感器的信号调理电路
- 压电式加速度传感器
- 压电逆效应的应用
- 超声波传感器

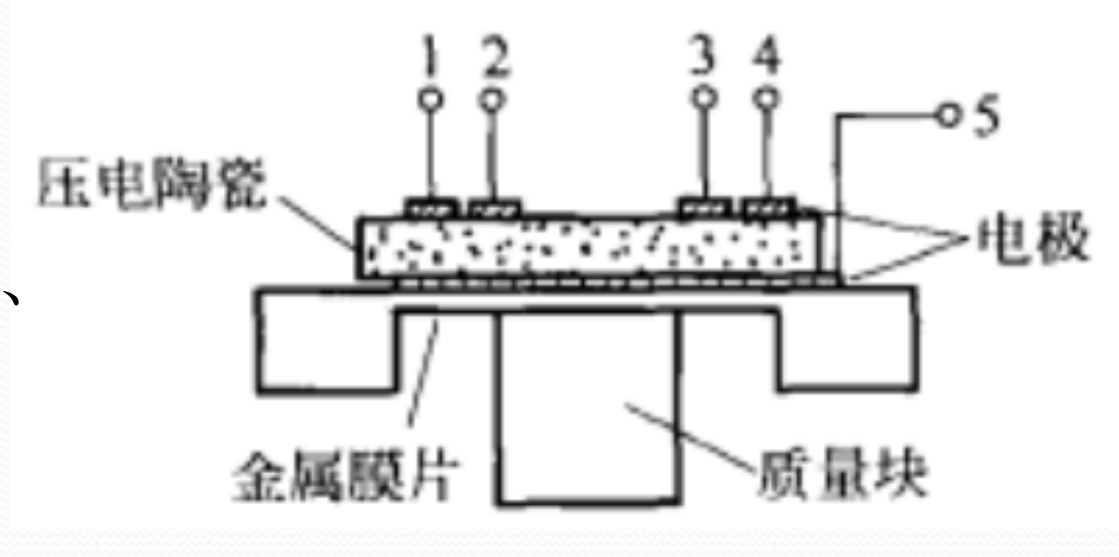
# 压电式加速度传感器

压电陶瓷板与金属膜片粘贴在一起,膜片中央有重块。在加速度作用下,压电陶瓷板发生变形,各极板相应地产生电压。压电陶瓷多个电极的电压可能有所不同,分析各电极的电压分布,可以检测加速度的方向。

注意传感器的环境的温湿度的影响。

温湿度的变化将导致压电材料压电常数、介电常数、电阻率、弹性系数等机电常数发生变化,进而影响传感器的工作性能。

传感器敏感轴(重力轴) 的安装误差



压电式加速度传感器

### 压电材料的应用



#### 本节主要内容

- 压电效应和压电方程
- 压电材料
- 压电传感器的信号调理电路
- 压电式加速度传感器
- 压电逆效应的应用
- 超声波传感器

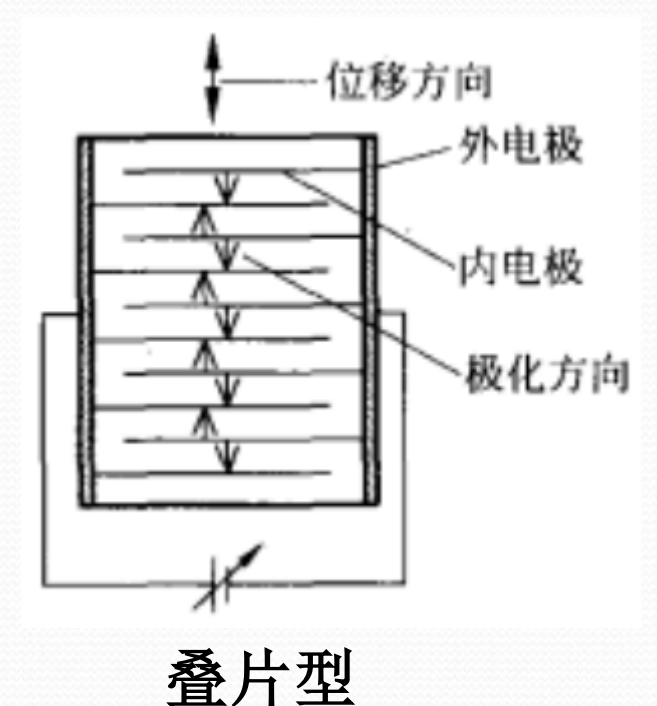
压电逆效应可以用作力和运动(位移、速度、加速度)的发生器,用作压电驱动器。基于压电逆效应的压电驱动器可以用于精密位移控制,它具有许多优势

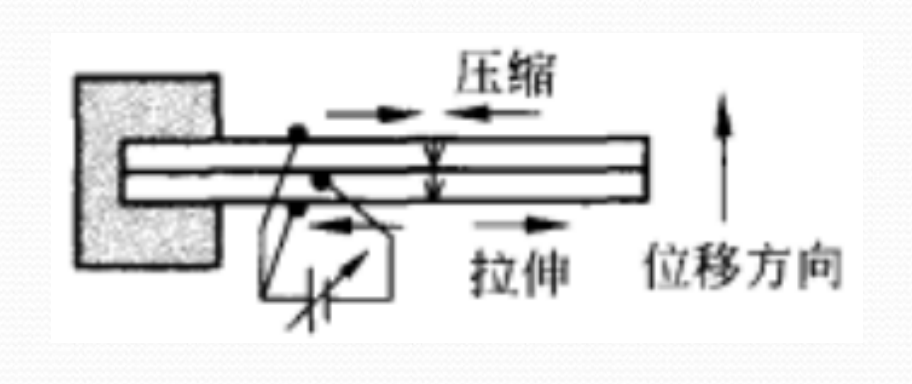
- ▶位移量程范围小
- ▶定位精度高
- ▶响应速度块
- ▶力产生效率高
- ▶不需要机械传动机构把转动变为直线运动,从而避 免 了机构误差
- ▶尺寸小,发热少
- ▶无杂散磁场
- ▶位移分辨率可达纳米级

压电陶瓷PZT是微机电一体化系统中的核心技术。

#### 压电执行器

可用低电压驱动执行器,获得 较大的累计位移量和高速响应 用于微型xy控制台、打印机头 的高精度位置控制上 位移量大,机械力度小 应用于照相机压电快门、录 像机磁头的跟踪器上



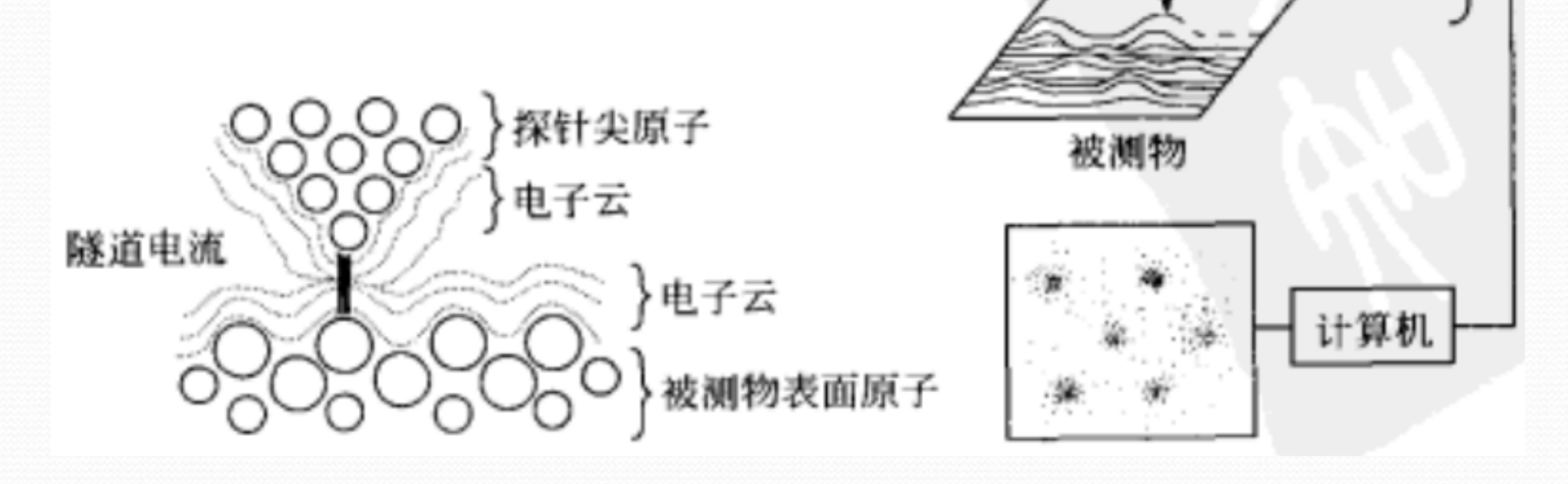


双层型

#### 扫描隧道显微镜

隧道显微镜可观察和定位单个原子,并可在低温下(4K)利

用探针尖端精确操纵原子,它在 纳米科技既是重要的测量工具又 是加工工具。



扫描隧道显微镜的原理

Z轴信号

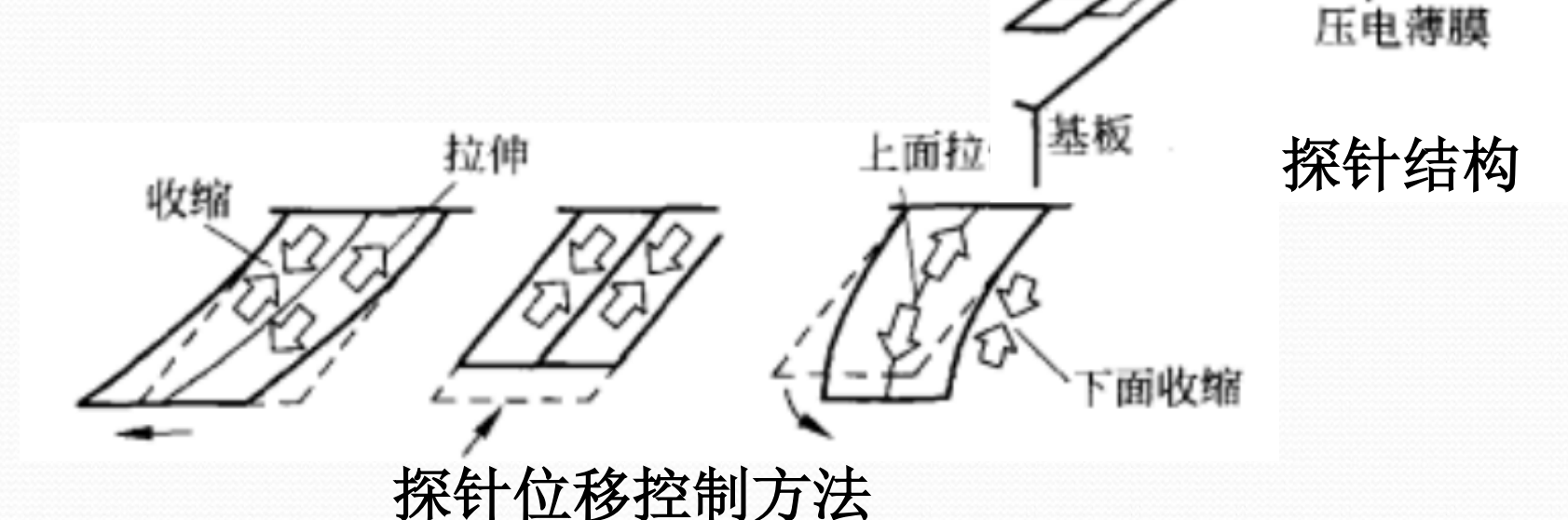
XY扫描信号

#### XYZ方向压电探针

如图,通过驱动悬臂梁上的压电薄膜,可以实现悬臂梁自由端探针XYZ三维位移控制。组合驱动四片压电薄膜的伸缩,

连接垫

可以使悬臂梁自由端左右、前后、 上下振动,即实现XYZ三维方向上 的 位移控制。



#### 本节主要内容

- 压电效应和压电方程
- 压电材料
- 压电传感器的信号调理电路
- 压电式加速度传感器
- 压电逆效应的应用
- 超声波传感器

# 超声波传感器

基于压电正逆效应

声波:频率在20-20000Hz间的机械波,

超声波:高于20000Hz的波

#### 课程评分方法的建议

编辑: hytcydc 时间: 2018年03月29日 访问次数:2

由于春学期"传感器与检测技术"部分的内容与夏学期"探测与调查"部分区别较大,因此建议春学期结束的期中考试作为本课程期末考试的50%,夏学期结束的期末考试不再含有"传感器"部分的内容。

从而,春学期"传感器与检测技术"占本课程50%的分值,即50分。其中,实验总分15分,期中考试总分25分,作业总分7分,点到总分3分。